

Рис. 3. Расчетные распределения по толщине прокатываемой полосы средненеинтегральных по длине соответствующих линий тока приведенных значений основных компонент напряженного состояния (а) и скоростей перемещения (б) пластически формоизменяемого металла

пластического формоизменения металла является в этом случае вполне обоснованным и в количественном, и в качественном отношениях.

Выходы. Выполненный на основе численной интерпретации метода полей линий скольжения двухмерный анализ механизма формирования напряженного, деформированного и кинематического состояний металла при горячей прокатке особо тонких ($l_d/h_{cp} > 6$) полос позволил установить, что степени неоднородности и распределений по толщине нормальных осевых напряжений σ_y и осевой составляющей скорости V_x пластического течения не превышают 8 %, в то время как относительное изменение нормальных осевых напряжений σ_x , обусловленное дополнительным влиянием касательных компонент девиатора напряжения τ_{xy} является значимым и может достигать 25 % и более. Значительным в этом случае является влияние характера распределения граничных условий по длине зоны пластического формоизменения металла.

БИБЛИОГРАФИЧЕСКИЙ СПИСОК

1. Коновалов Ю.В. – В кн.: Справочник прокатчика. Производство горячекатанных листов и полос: В 2-х кн. Кн. 1. – М.: Технотехник, 2008. – 640 с.
2. Хилл Р. Математическая теория пластичности. – М.: Гостехтеорлитиздат, 1956. – 407 с.
3. Томленов А.Д. Теория пластического формоизменения металлов. – М.: Металлургия, 1972. – 408 с.
4. Соколовский В.В. Теория пластичности. – М.: Высшая Школа, 1968. – 608 с.
5. Потапкин В.Ф. – В кн.: Удосконалення процесів та обладнання обробки тиском в металургії і машинобудуванні. – Краматорськ: ДДМА. 2002. С. 145 – 165.

© 2012 г. А.В. Сатонин, С.С. Настоящая,
В.А. Переходченко

Поступила 26 сентября 2011 г.

УДК 669.781:536.7

В.И. Бердников, Ю.А. Гудим

ООО «Технология металлов»
Южно-Уральский государственный университет

АНАЛИЗ ТЕРМОДИНАМИЧЕСКИХ СВОЙСТВ КОНДЕНСИРОВАННЫХ КАРБИДОВ

Выплавка ферросплавов углеродтермическим методом непременно сопровождается образованием в металлической ванне карбидных химических соединений типа $Me_m C_l$, где Me и C – символы соответствующего металлического элемента и углерода; m, l – стехиометрические коэффициенты.

Изучение таких процессов методом многокомпонентного термодинамического анализа [1] требует обязательного учета термодинамического равновесия между

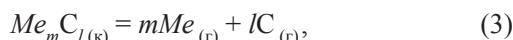
металлической и газовой фазами в соответствии с химическими реакциями

$$Me_m C_{l(r)} = Me_m C_{l(g)}; \quad (1)$$

$$Me_m C_{l(r)} = m Me_{(r)} + l C_{(g)}. \quad (2)$$

Здесь и далее индексы « r » и « g » – символы конденсированного и газообразного состояния компонента.

Газообразные карбиды в металлургических процессах образуются в крайне малых количествах, и их свойства до сих пор малоизучены. Достоверные термодинамические данные установлены [2, 3] только для газообразного карбида кремния. Поэтому в расчетной практике обычно учитывают только суммарный результат реакций (1) и (2), то есть реакцию



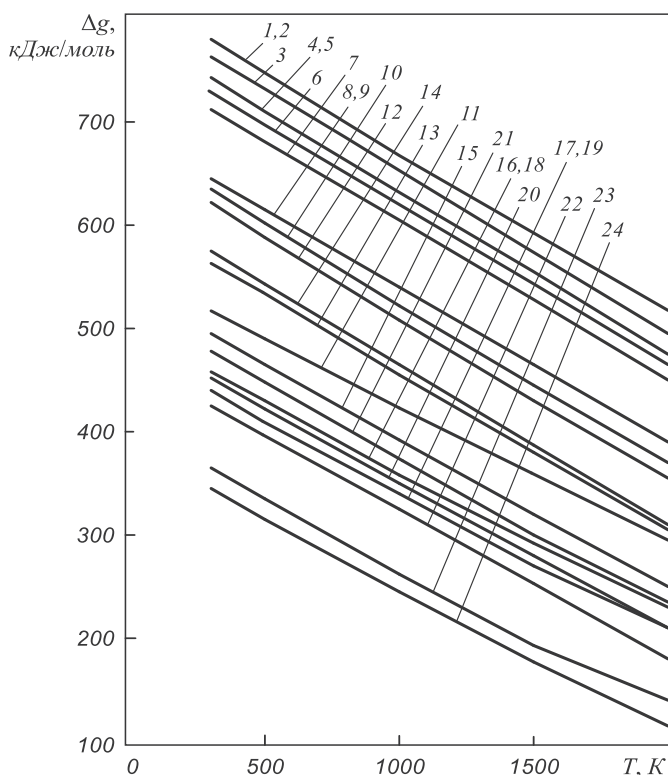
именуемую реакцией атомизации [4] или реакцией парообразования карбидов.

Изменение энергии Гиббса ΔG при прохождении реакции (3) может быть наиболее точно рассчитано по методу [2 – 4] с использованием зависимостей

$$\Delta_r G(T) = \Delta_r H(0) - T \Delta_r \Phi(T), \quad (4)$$

где $\Delta_r H(0) = \Delta_r H(298,15) - \Delta_r [H(298,15) - H(0)]$; $\Delta_r \Phi(T) = (k_0 + k_1 \ln z + k_2/z^2 + k_3/z + k_4 z + k_5 z^2 + k_6 z^3)$; $z = 10^{-4}T$; ΔH – изменение энталпии; r – указатель суммирования по членам уравнения (3); $\Delta \Phi$ – изменение приведенного термодинамического потенциала; T – абсолютная температура; k_i – коэффициенты аппроксимирующего семичленного полинома специального типа.

Таким образом, для вычисления величины ΔG необходима справочная информация по трем параметрам для каждого компонента химической реакции:



Температурная зависимость энергии атомизации карбидов

$$\Delta g = f(T)$$

1 – 24 – номер компонента в табл. 1

Φ , $H(298,15)$ и $H(298,15) - H(0)$. А целью получения численных значений ΔG одного порядка для всех карбидов далее используется следующая приведенная характеристика:

$$\Delta g = \frac{\Delta G}{m+l} = \frac{\Delta G}{n}, \quad (5)$$

то есть изменение энергии Гиббса, отнесенное к числу атомов n , содержащихся в карбидном соединении.

В табл. 1 приведены расчетные величины параметра Δg для 24 карбидных соединений, содержащихся в базе данных Terra [3]. Карбидные соединения расположены в табл. 1 в порядке убывания температур их кипения ($T_{\text{кип}}$), при которых величина Δg принимает нулевое значение. Пять расчетных температур выбраны в области $298,15 - 2000$ К, то есть в «металлургическом» диапазоне температур.

В целом, описанный выше метод приведенных термодинамических потенциалов гарантирует высокую точность определения величины Δg , однако он является не очень удобным для выполнения как ручных, так и машинных расчетов. Дело в том, что искомые функции $\Delta g = f(T)$, имеющие также форму полиномов специального типа, в полном интервале температур состоят из двух – четырех «отрезков», причем разной длины для различных карбидов, и не всегда хорошо «стыкующиеся» на своих границах. Поэтому для оперативного и наглядного анализа термодинамических свойств карбидов желательно получить более простые и однотипные расчетные функции $\Delta g = f(T)$ для всего рабочего диапазона температур.

Обычно применяемые для этой цели линейные аппроксимации типа $\Delta G = A + BT$ не решают проблему, ввиду значительной потери точности. Следовательно, нужно использовать, как минимум, квадратичные зависимости типа $\Delta g = a + bT + cT^2$. Определение коэффициентов a , b , c в этих зависимостях методом наименьших квадратов приведет к утрате их физического смысла. Целесообразней будет определять их интерполяционным методом по трем узловым точкам, например, при температурах 298,15, 1000 и 2000 К. В этом случае в качестве коэффициентов a будут использоваться «стандартные» значения $\Delta g_{298,15}$, коэффициенты b получат смысл первых производных величины Δg в начальной точке $T = 298,15$ К, а коэффициенты c – вторых производных. Аналогичными будут и геометрические интерпретации коэффициентов: a – ординаты начальной точки, b – углы наклона расчетных линий в начальной точке, c – характеристики кривизны расчетных линий.

Таким образом, интерполяционные уравнения получат вид

$$\Delta g(T) = \Delta g_{298,15} + bt + ct^2, \quad (6)$$

где $t = 10^{-3}(T - 298,15)$.

Таблица 1

Термодинамические характеристики атомизации конденсированных карбидов

Номер	Карбид	Δg , кДж/моль, при T , К					$T_{\text{кип}}$, К	Коэффициенты полинома (6)		Погрешность расчета величины Δg , кДж/моль, при T , К	
		298,15	500	1000	1500	2000		b	c	500	1500
1	TaC	777,9	747,0	671,7	596,6	522,4	5796	-152,1	1,177	-0,2	0,1
2	W ₂ C	773,8	743,0	667,5	590,4	512,7	5537	-150,0	-1,985	-0,4	-0,2
3	WC	761,9	430,6	653,9	576,3	498,4	5457	-153,3	-0,900	-0,3	0
4	NbC	745,1	713,2	634,5	556,5	479,3	5313	-158,4	1,347	0,1	-0,1
5	Nb ₂ C	740,5	708,8	629,8	551,4	473,8	5252	-158,3	0,953	0,2	-0,2
6	HfC	729,1	697,9	621,6	546,1	471,0	5244	-154,3	1,541	-0,2	0,2
7	ZrC	716,1	684,9	607,6	530,9	454,6	5100	-155,2	0,927	0,1	0
8	Mo ₂ C	647,9	617,1	542,1	468,8	397,2	5021	-153,2	3,459	-0,1	0
9	Mo ₃ C ₂	649,8	618,8	544,1	471,3	400,2	4900	-153,4	3,971	-0,2	0,2
10	TiC	636,4	603,9	525,0	447,5	371,0	4604	-160,6	2,721	-0,1	0,2
11	CaC ₂	515,8	489,5	425,2	361,8	295,4	4583	-128,8	-0,431	-0,3	1,4
12	VC	622,3	589,7	509,8	430,9	353,3	4539	-162,0	2,298	0	-0,1
13	B ₄ C	565,0	533,9	457,3	381,3	306,2	4131	-154,5	1,421	0	-0,1
14	SrC	574,3	542,3	463,4	385,4	308,2	4102	-159,1	1,612	0	0
15	Cr ₃ C ₂	497,0	466,4	392,2	320,3	250,5	3975	-152,3	4,421	0	0,1
16	MgC ₂	457,5	429,5	361,5	294,8	229,1	3800	-138,6	2,586	-0,1	0,1
17	Fe ₃ C	440,1	410,5	340,8	272,9	210,9	3784	-146,3	6,847	-0,3	-1,3
18	Cr ₇ C ₃	463,9	433,6	360,5	289,7	221,0	3740	-150,6	4,660	-0,1	0,1
19	Mg ₂ C ₃	433,8	406,3	339,6	274,2	209,9	3681	-136,0	2,588	-0,1	0,1
20	Be ₂ C	452,8	424,5	353,3	281,6	210,3	3660	-141,1	-0,781	0,3	-0,4
21	Al ₄ C ₃	480,7	450,5	376,0	302,8	230,6	3654	-150,8	2,244	0,1	0,1
22	Cr ₂₃ C ₆	429,5	399,1	326,1	255,4	177,8	3341	-147,1	-0,481	-0,7	3,4
23	Mn ₇ C ₃	379,6	350,1	278,7	209,9	142,8	3244	-147,0	4,635	0	0,3
24	Mn ₃ C	347,4	318,2	248,0	180,2	114,2	2890	-144,8	4,607	-0,1	0,3

Средние значения и пределы доверительных интервалов

Δg_{cp}	576,6	546,2	472,1	399,1	326,7	—	—	—	-0,1	0,2
x_{cp}	—	—	—	—	—	—	-150	2,1	—	—
Дисперсия σ^2						65	4,6	0,04	0,6	
Среднеквадратичное отклонение σ						8	2,1	0,2	0,8	
Доверительный интервал (95 %): верхний предел $\Delta g_{\text{cp}} + 2\sigma$						—	—	0,3	1,8	
						$x_{\text{cp}} + 2\sigma$	6,3	—	—	
						—	—	-0,5	-1,4	нижний предел $\Delta g_{\text{cp}} - 2\sigma$
						$x_{\text{cp}} - 2\sigma$	-2,1	—	—	

Масштабный множитель 10^{-3} принят с целью более удобной записи коэффициентов b и c . Эти коэффициенты для каждого карбида рассчитываются по формулам

$$b = -2,0124 \Delta g_{298,25} + 2,42481 \Delta g_{1000} - 0,4124 \Delta g_{2000}; \quad (7)$$

$$c = 0,83721 \Delta g_{298,25} - 1,42481 \Delta g_{1000} + 0,5876 \Delta g_{2000}. \quad (8)$$

Численные значения коэффициентов приведены в табл. 1. Очевидно, что при температурах 298,15; 1000 и 2000 К расчетные значения Δg будут иметь точные значения, а при «межузловых» температурах 500 и 1500 К возникает, так называемая, интерполяционная погрешность, величину которой можно считать приемлемой, практически, для всех компонентов.

Таблица 2

Термодинамические характеристики атомизации конденсированных химических элементов

Номер	Элемент	ΔG , кДж/моль, при T , К					$T_{\text{кип}}$, К	Коэффициенты полинома (6)		Погрешность расчета величины ΔG , кДж/моль, при T , К	
		298,15	500	1000	1500	2000		b	c	500	1500
1	W	809,2	780,8	709,5	635,1	559,3	5970	-138,7	-4,802	-0,2	-0,5
2	Ta	739,7	711,0	641,1	571,3	500,7	5796	-140,7	0,114	-0,4	0,4
3	Nb	678,5	647,9	571,6	495,8	420,9	5136	-152,9	0,887	0,2	-0,2
4	C	671,6	640,1	560,8	481,7	402,9	4611	-157,7	-0,081	0,4	-0,3
5	Mo	611,9	581,2	506,8	434,4	350,0	4912	-146,8	-4,184	-0,9	4,9
6	Hf	579,7	551,0	481,9	414,1	347,3	4973	-141,3	2,800	-0,2	0,2
7	Zr	556,9	528,1	456,9	385,9	314,3	4630	-142,4	-0,080	-0,1	0,3
8	B	521,2	491,0	415,8	341,3	267,3	4189	-150,7	0,910	0,2	-0,1
9	V	471,6	440,6	364,6	290,3	218,3	3676	-154,9	3,542	0,1	-0,3
10	Ti	429,2	399,4	319,7	254,6	190,9	3644	-167,3	15,99	3,3	3,3
11	Si	405,6	375,4	301,7	229,3	158,1	3613	-149,9	2,609	0	0,1
12	Fe	370,3	342,2	276,3	199,5	140,0	3135	-132,0	-1,968	-1,4	-9,4
13	Cr	352,9	322,0	249,0	178,9	110,2	2957	-151,8	5,375	-0,5	0,6
14	Al	289,1	261,9	197,2	140,3	85,21	2798	-138,7	11,11	0,3	1,8
15	Be	286,3	260,5	197,3	135,8	80,05	2744	-130,6	5,517	0,4	-1,5
16	Mn	245,6	215,7	147,9	85,5	34,43	2358	-149,9	15,16	-0,3	-1,8
17	Ca	144,1	121,5	68,89	21,3	-19,74	1786	-114,7	10,86	0,2	-0,6
18	Mg	112,6	89,5	34,42	-12,2	-66,67	1368	-115,7	6,060	0	5,4

Средние значения и пределы доверительных интервалов

ΔG_{cp}	459,8	431,1	361,2	293,5	227,4	-	-	-	0,1	0,1
x_{cp}	-	-	-	-	-	-	-143	3,9	-	-
Дисперсия σ^2							184	37	0,8	9,6
Среднеквадратичное отклонение σ							13,5	6,1	0,9	3,1
Доверительный интервал (95 %): верхний предел $\Delta G_{\text{cp}} + 2\sigma$							-	-	1,9	6,3
							-116	16,1	-	-
$x_{\text{cp}} + 2\sigma$										
нижний предел $\Delta G_{\text{cp}} - 2\sigma$							-	-	-1,7	-6,1
							-170	-8,3	-	-
$x_{\text{cp}} - 2\sigma$										

Из табл. 1 также следует, что дисперсия расчетных значений коэффициентов b и c невелика, следовательно формула (6) отражает общую закономерность поведения карбидов в процессе реакции атомизации. Но значения коэффициента b для карбида CaC_2 и коэффициента c для карбида Fe_3C выходят за пределы доверительных интервалов. Приведенный на рисунке график подтверждает этот факт – угол наклона линии 11 заметно отличается от угла наклона остальных линий, а линия 17 изменяет угол наклона при температуре выше 1000 К. Наличие таких отклонений может свидетельствовать об определенных погрешностях при проведении экспериментальных определений термодинамических свойств карбидов. В частности, информация о свойст-

вах карбидов CaC_2 и Fe_3C основывается, главным образом, на результатах давнего исследования [7], и позже она, фактически, не перепроверялась.

Указанные особенности карбидных соединений в равной мере присущи и термодинамическим свойствам самих химических элементов, образующих эти соединения. В табл. 2 приводятся значения изменения энергии Гиббса Δg (или ΔG , поскольку $n = 1$) для реакций атомизации химических элементов

$$Me_{(k)} = Me_{(r)}, C_{(k)} = C_{(r)} \quad (9)$$

с использованием также базы данных [3].

Рассчитанные по формулам (7), (8) коэффициенты b

и с имеют порядок величины тот же, что для карбидов, но большую величину дисперсии. Причем значительные отклонения наблюдаются для тех элементов, которые входят в состав «проблемных» карбидов, а именно:

– кальций имеет пониженную величину коэффициента b ;

– железо имеет повышенную интерполяционную погрешность при 1500 К;

– углерод имеет пониженную величину температуры кипения (для сравнения: в справочном издании [2] указано значение 4718 К, а в базах данных [8, 9] –

5100 К); для остальных химических элементов подобные различия величин $T_{\text{кип}}$ не превышают 100 К).

Однотипная методика обработки данных для карбидов и элементов позволяет также и для химических реакций типа

$$Me_m C_{l(\kappa)} = m Me_{(\kappa)} + l C_{(\kappa)}, \quad (10)$$

именуемых в работах [5, 6] реакциями фрагментации карбидов, относительно просто вычислить изменение энергии Гиббса

Таблица 3

Термодинамические характеристики фрагментации конденсированных карбидов

Номер	Карбид	Расчетные значения $\Delta g'$, кДж/моль, при T , К					Коэффициенты полинома (6)	
		298,15	500	1000	1500	2000	b	c
1	TaC	72,25	71,70	70,76	70,39	70,60	-2,944	1,161
2	W ₂ C	10,46	9,50	7,55	6,21	5,50	-5,029	1,243
3	WC	21,50	20,52	18,65	17,54	17,20	-5,149	1,541
4	NbC	70,05	69,46	68,32	67,65	67,45	-3,134	0,944
5	Nb ₂ C	64,30	63,53	61,78	60,21	58,84	-3,868	0,389
6	HfC	103,50	102,50	100,20	97,96	95,83	-4,786	0,182
7	ZrC	101,90	100,90	98,76	97,16	96,06	-5,116	1,008
8	Mo ₂ C	16,10	15,80	17,26	21,85	29,59	-2,756	6,275
9	Mo ₃ C ₂	14,02	13,83	15,64	20,71	29,04	-2,260	6,514
10	TiC	86,00	86,18	84,78	80,77	74,14	1,936	-5,234
11	CaC ₂	20,02	22,80	28,30	31,81	33,31	14,610	-3,997
12	VC	50,70	49,58	16,99	44,69	42,67	-5,684	0,568
13	B ₄ C	13,72	13,27	12,40	11,89	11,73	-2,378	0,709
14	SrC	35,70	34,65	32,17	29,85	27,72	-5,280	0,348
15	Cr ₃ C ₂	16,62	17,04	18,50	20,58	23,28	1,823	1,228
16	MgC ₂	-27,79	-26,73	-23,89	-20,75	-17,30	5,108	0,620
17	Fe ₃ C	-5,53	-6,77	-6,94	-2,93	5,24	-7,872	8,343
18	Cr ₇ C ₃	15,39	16,02	17,89	20,22	23,02	2,912	0,922
19	Mg ₂ C ₃	-14,20	-13,19	-10,63	-7,96	-5,18	4,936	0,213
20	Be ₂ C	38,08	37,59	34,83	29,84	22,65	-1,526	-4,432
21	Al ₄ C ₃	27,66	26,70	22,91	17,07	9,20	-3,919	-4,070
22	Cr ₂₃ C ₆	10,66	11,66	12,47	10,92	7,00	5,896	-4,727
23	Mn ₇ C ₃	6,20	7,01	6,93	3,86	-2,18	0,254	1,112
24	Mn ₃ C	-4,70	-3,56	-3,12	-6,04	-12,33	6,991	-6,743

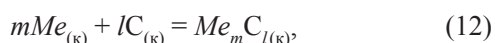
Средние значения и пределы доверительных интервалов

$\Delta g''_{\text{cp}}$	30,94	30,83	30,52	30,15	29,71	–	–
x_{cp}	–	–	–	–	–	-0,7	0,2
Отношение $100 \cdot \Delta g'_{\text{cp}} / \Delta g_{\text{cp}}$, %	5,4	5,6	6,5	7,6	9,1	–	–
Дисперсия σ^2					–	28	14
Среднеквадратичное отклонение σ					–	5,3	3,7
Доверительный интервал (95 %): верхний предел $x_{\text{cp}} + 2\sigma$					–	9,9	7,6
нижний предел $x_{\text{cp}} - 2\sigma$					–	-11,3	-7,2

$$\Delta g' = \Delta g - (m/n)\Delta G_{Me} - (l/n)\Delta G_C. \quad (11)$$

Результаты расчета этой характеристики (табл. 3) подтверждают ранее установленную особенность [5, 6] – изменение энергии Гиббса в реакциях фрагментации карбидов обычно не превышает 10 % от изменения ее в реакциях атомизации. Температурная зависимость $\Delta g' = f(T)$ для отдельных карбидов не имеет определенного типа, но в среднем для всех карбидов ее можно считать не зависящей от температуры. Зафиксированные выше отклонения свойств карбидов CaC_2 и Fe_3C здесь также сохраняются.

Представляет интерес сопоставить термодинамические характеристики реакций (11) с характеристиками обратных им реакций типа



именуемых реакциями образования конденсированных карбидов из простых веществ. В этом случае изменение энергии Гиббса обычно определяют по формуле $\Delta G'' = \Delta H^\circ - \Delta S^\circ T$, где ΔH° и ΔS° – соответственно, табличные данные изменения энталпии и энтропии при протекании реакций (12) в стандартных условиях (при $T = 298,15 \text{ K}$). Принимая $\Delta g'' = \Delta G''/n$, $\Delta h^\circ = \Delta H^\circ/n$ и $\Delta s^\circ = \Delta S^\circ/n$, определим

$$\Delta g'' = \Delta h^\circ - \Delta s^\circ T. \quad (13)$$

Используя приведенные в базе данных [3] значения ΔH° и ΔS° (они в основном совпадают с данными в других справочных изданиях), получим расчетные значения $\Delta g''$ для температур 298,15; 1000 и 2000 К среднее значение составило $-30,66$; $-29,80$ и $-28,59 \text{ кДж/моль}$ соответственно (табл. 4). Поскольку ранее при этих

Таблица 4

**Термодинамические характеристики конденсированных карбидов
при образовании их из простых веществ**

Номер	Карбид	Δh° , кДж/моль	Δs° , Дж/(моль·К)	Расчетные значения $\Delta g''$, кДж/моль, при T , К		
				298,15	1000	2000
1	TaC	-72,05	2,45	-71,32	-69,60	-67,16
2	W_2C	-8,80	2,34	-8,10	-6,46	-4,12
3	WC	-20,30	3,12	-19,37	-17,19	-14,07
4	NbC	-70,29	3,31	-69,31	-66,98	-63,68
5	Nb_2C	-64,99	3,77	-63,86	-61,22	-57,45
6	HfC	-104,18	4,97	-102,70	-99,21	-94,25
7	ZrC	-103,35	5,71	-101,65	-97,64	-91,93
8	Mo_2C	-15,33	-1,03	-15,64	-16,36	-17,39
9	Mo_3C_2	-12,80	-1,16	-13,15	-13,96	-15,12
10	TiC	-86,60	6,11	-84,78	-80,49	-74,38
11	CaC_2	-19,80	-5,74	-21,51	-25,54	-31,28
12	VC	-50,94	4,72	-49,53	-46,22	-41,51
13	B_4C	-12,40	0,45	-12,27	-11,95	-11,51
14	SrC	-35,95	4,03	-34,75	-31,92	-27,89
15	Cr_3C_2	-16,40	-0,64	-16,59	-17,04	-17,67
16	MgC_2	29,33	-3,28	28,36	26,05	22,77
17	Fe_3C	6,28	-5,17	4,74	1,11	-4,06
18	Cr_7C_3	-14,60	-1,89	-15,16	-16,49	-18,37
19	Mg_2C_3	15,90	-3,48	14,86	12,42	8,93
20	Be_2C	-38,99	2,81	-38,15	-36,18	-33,37
21	Al_4C_3	-29,56	5,95	-27,78	-23,60	-17,65
22	Cr_{23}C_6	-10,17	-1,16	-10,52	-11,33	-12,50
23	Mn_7C_3	-9,87	2,32	-9,18	-7,55	-5,22
24	Mn_3C	1,41	0,70	1,62	2,11	2,81

температурах значения $\Delta g'$ вычислялись точно, то сравнение значений $\Delta g'$ с соответствующими значениями $(-\Delta g'')$ однозначно определяет погрешность указанного расчетного метода. Вычисленная средняя погрешность по формуле $100 \cdot [\Delta g'_{\text{ср}} - (-\Delta g''_{\text{ср}})] / \Delta g'_{\text{ср}}$ оказалась достаточно высокой: 0,9 % при 298,15 К; 2,4 % при 1000 К и 4,0 % при 2000 К, (табл. 4). Отсюда следует, что формулу (13) корректно применять лишь для отдельных карбидов (Nb_2C , HfC , VC , B_4C , SiC).

Однако недостаточно ясно, почему погрешность, равная в среднем 0,4 %, возникает при исходной температуре 298,15 К. По мнению И.С. Куликова [4] справочные данные ΔH° и ΔS° приводятся по существу усреднено для некоторого интервала температур. В этом случае расчетная погрешность минимизируется, но распространяется на весь исследуемый интервал, включая исходную точку.

Выводы. Термодинамические данные для конденсированных карбидов в диапазоне температур 298,15 – 2000 К, полученные наиболее точным методом приведенных термодинамических потенциалов, оказались недостаточно удобными в практическом применении. Поэтому используемые для аппроксимации термодинамических функций семичленные полиномы специального типа в процессе анализа были заменены трехчленными интерполяционными полиномами второго порядка. Такой прием позволил в более наглядной форме получить информацию об участии карбидов в

характерных химических реакциях и выявить возможные погрешности в экспериментальном определении их термодинамических свойств. Использование для этих целей двучленных полиномов с температурной зависимостью линейного типа не обеспечило требуемой точности расчетов в указанном диапазоне температур.

БИБЛИОГРАФИЧЕСКИЙ СПИСОК

1. Термодинамические и теплофизические свойства продуктов сгорания / В.Е. Алемасов, А.Ф. Драгалин, А.П. Тишин, В.А. Худаков. Т. 1.– М.: ВИНТИ, 1972. – 266 с.
2. Термодинамические свойства индивидуальных веществ. Справ. издание в 4-х томах / Под ред. В.П. Глушко. – М.: Наука, 1978 – 1983.
3. База данных «Тетта 2.9» / Б.Г. Трусов – М.: МГТУ им. Н.Э. Баумана, 2006.
4. Куликов И.С. Термическая диссоциация соединений. – М.: Металлургия, 1966. – 250 с.
5. Бердников В.И., Гудим Ю.А., Картелёва М.И. // Изв. вуз. Черная металлургия. 2009. № 2. С. 21 – 27.
6. Бердников В.И., Гудим Ю.А., Картелёва М.И. // Изв. вуз. Черная металлургия. 2010. № 4. С. 3 – 7.
7. Эллиот Д.Ф., Глейзер М., Рамакришна В. Термохимия сталеплавильных процессов. – М.: Металлургия, 1969. – 328 с.
8. База данных «Table 3.40» / К. Поляков. – Электронный ресурс <http://www.chemtable.com>, 2002.
9. База данных «HSCChemistry 5.1» / AnttiRoine – Pori (Finland): OutokumpuResearchOy, InformationService, 2002.

© 2012 г. В.И. Бердников, Ю.А. Гудим
Поступила 22 ноября 2011 г.